

ЛИТЕРАТУРА

- Регель В. Р., Слуцкер А. И., Томашевский Э. Е. Кинетическая природа прочности твердых тел. М., «Наука», 1974.
- Регель В. Р. Кинетическая концепция прочности как научная основа для прогнозирования долговечности полимеров под нагрузкой.— «Механика полимеров», 1971, № 1.

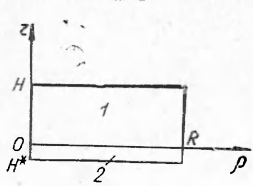
УДК 531.299.2.531.781

**ТЕРМОУПРУГАЯ ОСЕСИММЕТРИЧНАЯ ЗАДАЧА
ДЛЯ ДВУХСЛОЙНОГО ЦИЛИНДРА**

Т. Г. Белейчева, К. К. Зилинг

(Новосибирск)

Большинство приборов и устройств микроэлектроники представляют собой многослойные структуры, выполненные из материалов с различными коэффициентами термического расширения и упругими константами. Термические напряжения, возникающие в таких системах в результате изменения температуры при их изготовлении и эксплуатации, могут приводить к разрушению, пластической деформации или изменению физических свойств материалов. В то же время существующие расчетные модели не описывают напряженное состояние в реальных системах конечных размеров вследствие принятых упрощений. Так, расчеты [1—3] выполнены на основе технической теории балок, а в работах [4, 5] решение получено для бесконечной полосы на полуправостранстве.



Фиг. 1

В данной работе в качестве математической модели реальной системы рассмотрен прямой круговой цилиндр радиуса R , разделенный плоскостью $z = 0$ на два слоя толщиной H и H^* (фиг. 1). Здесь и далее величины, относящиеся к слою 2, отмечены звездочкой.

Задача о деформации цилиндра при охлаждении от температуры T_1 до T_2 решена в рамках линейной теории термоупругости. Принято, что материал каждого слоя однороден и изотропен, температура не зависит от координат, а коэффициенты термического расширения α и α^* не зависят от T .

Задача рассмотрена в двух постановках:

1. Для произвольного соотношения H и H^* разностными методами решена задача, математически состоящая из уравнений Диогамеля — Неймана [6], записанных в цилиндрических координатах, и граничных условий, соответствующих отсутствию нагрузок на внешних поверхностях тела:

$$(1) \quad \sigma_{\rho\rho}(R, z) = 0, \quad \sigma_{\rho\rho}^*(R, z) = 0;$$

$$(2) \quad \sigma_{zz}(\rho, H) = 0, \quad \sigma_{zz}^*(\rho, -H^*) = 0;$$

$$(3) \quad \tau_{\rho z}(R, z) = 0, \quad \tau_{\rho z}^*(R, z) = 0;$$

$$(4) \quad \tau_{\rho z}(\rho, H) = 0, \quad \tau_{\rho z}^*(\rho, -H^*) = 0.$$

При $\rho = 0$ выполняются условия осевой симметрии. Кроме того, на плоскости $z = 0$ слои жестко скреплены:

$$(5) \quad \sigma_{zz}(\rho, 0) = \sigma_{rz}^*(\rho, 0); \quad (7) \quad u(\rho, 0) = u^*(\rho, 0);$$

$$(6) \quad \tau_{rz}(\rho, 0) = \tau_{rz}^*(\rho, 0); \quad (8) \quad w(\rho, 0) = w^*(\rho, 0).$$

Здесь σ_{ii} и τ_{iz} — нормальные и касательные напряжения; u и w — проекции смещения на оси ρ и z соответственно. Недеформированным считается состояние при T_1 .

Исходная задача сведена к эквивалентной вариационной на минимум потенциальной энергии W системы. При этом граничные условия в напряжениях удовлетворяются точно при минимизации W . Выражение для W при осесимметричной деформации взято из [7]. Вариационная задача $\delta W = 0$, записанная относительно непрерывных переменных u и w , далее заменена вариационной задачей относительно дискретных значений u_{ij} и w_{ij} . Использована двойная сетка и аппроксимация части функций и их производных из [7]. Кроме того, использована аппроксимация

$$\frac{1}{\rho} \frac{\partial}{\partial \rho} (\rho u) \approx \frac{u_{i,j+1} - u_{i,j}}{h_1} + \frac{u_{i,j}}{\rho_j}$$

точности $O(h_1)$, где индексы i и j обозначают соответственно горизонтальные и вертикальные линии сетки ($i = 1, 2, \dots, p$; $j = 1, 2, \dots, q$); h_1 — шаг сетки по направлению радиуса. Приближенное выражение $W(u_{ij}, w_{ij})$ получено суммированием по всем ячейкам. Разностные уравнения, аппроксимирующие исходные дифференциальные, получены из условия стационарности

$$(\partial W / \partial u)_{ij} = 0, \quad (\partial W / \partial w)_{ij} = 0.$$

В частности, условие $(\partial W / \partial w)_{ij} = 0$ для точки границы раздела слоев (m, j) дает уравнение

$$\begin{aligned} h_1(x^* - x) u_{m,j} + (j-1) \left(\frac{2h_1^2}{h_4} \psi^* + \frac{2h_1^2}{h_2} \psi + G^* h_4 + G h_2 \right) w_{m,j} + \\ + h_1(x^* u_{m+1,j} - x u_{m-1,j}) - 2(j-1) h_1^2 \frac{\psi^*}{h_2} w_{m+1,j} - \\ - 2(j-1) h_1^2 \frac{\psi}{h_2} w_{m-1,j} - \frac{h_1}{4} \left[\frac{j(1-4v_*) + 2v_*}{1-2v_*} G^* - \frac{j(1-4v) + 2v}{1-2v} G \right] u_{m,j+1} + \\ + \frac{G^* h_1 (j-2v_*)}{4(1-2v_*)} u_{m+1,j+1} - \frac{G h_1 (j-2v)}{4(1-2v)} u_{m-1,j+1} - \frac{(2j-4)}{4} (G^* h_4 + G h_2) w_{m,j+1} + \\ + \frac{h_1}{4} \left[\frac{j(1-4v_*) - 2(1-3v_*)}{1-2v_*} G^* - \frac{j(1-4v) - 2(1-3v)}{1-2v} G \right] u_{m,j-1} + \\ + \left[\frac{\psi^* h_1}{2} - \frac{j G^* h_1}{4(1-2v_*)} \right] u_{m+1,j-1} - \left[\frac{\psi h_1}{2} - \frac{j G h_1}{4(1-2v)} \right] u_{m-1,j-1} - \\ - \frac{(2j-3)}{4} (G^* h_4 + G h_2) w_{m,j-1} = 2(j-1)(T_2 - T_1) h_1^2 \left[\frac{G^* (1+v_*) \alpha_*}{1-2v_*} - \right. \\ \left. - \frac{G (1+v) \alpha}{1-2v} \right], \end{aligned}$$

где

$$\psi = G(1-v)/(1-2v); \quad \psi^* = G^*(1-v_*)/(1-2v_*);$$

$$x = Gv/(1-2v); \quad x^* = G^* v_*/(1-2v_*); \quad (j-1) h_1 = R.$$

Здесь G — модуль сдвига; v — коэффициент Пуассона. Из приведенного уравнения соответствующей заменой констант получены и уравнения для внутренних точек среды 1 и 2.

Полученная схема девятиточечная. Все неизвестные были сгруппированы по линиям в вектор-столбцы типа

$$\eta_j = \begin{bmatrix} u_{1,j} \\ w_{1,j} \\ u_{2,j} \\ w_{2,j} \\ \vdots \\ u_{p,j} \\ w_{p,j} \end{bmatrix}.$$

Поскольку каждый η_j связан только с η_{j-1} и η_{j+1} , матрица коэффициентов при неизвестных принимает блочно-тридиагональную форму. Это позволило при решении использовать метод последовательной верхней линейной релаксации по линиям [8] с параметром релаксации $\varphi = 1,8$ из [9]. Описанный выше алгоритм был запрограммирован для решения на ЭВМ БЭСМ. При этом учитывалось, что при $H \ll H^*$ или $H \gg H^*$ резкое различие шагов h_2 и h_4 в направлении оси z для среды 1 и 2 может приводить к искажению граничных условий. В связи с этим у границы шаги взяты равными, а переход по шагу осуществляется в среде 1.

Значения компонент напряжения в точке получены как средние взвешенные значения тех же компонент, взятых по площади всех ячеек, содержащих эту точку. Использованы те же аппроксимации, что и при получении разностной схемы. В частности, для внутренних точек среды 1 напряжения рассчитывались по формулам

$$\sigma_{\rho\rho}|_{i,j} = \frac{2G}{1-2\nu} \left\{ \nu \frac{u_{i,j}}{(j-1)h_1} + (1-\nu) \frac{u_{i,j+1}-u_{i,j-1}}{2h_1} + \nu \frac{w_{i-1,j}-w_{i+1,j}}{2h_2} - (1+\nu)\alpha(T_2-T_1) \right\},$$

$$\tau_{\rho z}|_{i,j} = G \left\{ \frac{u_{i-1,j}-u_{i+1,j}}{2h_2} + \frac{w_{i,j+1}-w_{i,j-1}}{2h_1} \right\}.$$

Аналогичные выражения для среды 2 получаются соответствующей заменой констант. Полученные разностные выражения аппроксимируют дифференциальные выражения в законе Гука с точностью $O(h^2)$. Для точек границ формулы изменяются и имеют точность аппроксимации $O(h)$.

В частности, на границе $\rho = R$ в среде 1

$$\sigma_{\rho\rho} = \frac{2G}{1-2\nu} \left\{ \nu \frac{u_{i,q}}{(q-1)h_1} + (1-\nu) \frac{(u_{i,q}-u_{i,q-1})}{h_1} + \nu \frac{(w_{i-1,q}-w_{i+1,q})}{2h_2} - (1+\nu)\alpha(T_2-T_1) \right\},$$

$$\tau_{\rho z} = G \frac{(u_{i-1,q}-u_{i+1,q})}{2h_2} + G \frac{(w_{i,q}-w_{i,q-1})}{h_1}.$$

При отработке программы проведен ряд тестов для упрощенных математических и физических моделей. Так, для однородного цилиндра было найдено, что точность «нулей» напряжений составляла $\sim 10^{-4}$ кг/мм², а смещения соответствовали случаю свободного сжатия. В качестве ха-

рактеристики точности найденных значений напряжений применялась величина

$$\delta = (|\sigma_h - \sigma_{2h}|)/|\sigma_h|,$$

где σ_h и σ_{2h} — решения разностной задачи, полученные при шагах h_1 , h_2 , h_4 и $2h_1$, $2h_2$, $2h_4$ соответственно.

2. Для случая $H^* \ll H$, $H^* \ll \kappa$ задача может быть упрощена. Действительно, пренебрегая изгибной жесткостью слоя 2, полагая в (5) $\sigma_{zz}(\rho, 0) = 0$ и заменяя в (6) для этого слоя действие касательных нагрузок действием массовых сил $q(\rho)$

$$(9) \quad \tau_{\rho z}(\rho, 0) = H^* q(\rho),$$

для $u^*(\rho)$ получаем уравнение

$$(10) \quad \rho^2 \frac{d^2 u^*(\rho)}{d\rho^2} + \rho \frac{du^*(\rho)}{d\rho} - u^*(\rho) = -q(\rho) \frac{1 - v_*^2}{E_*} \rho^2$$

с граничными условиями в виде

$$(11) \quad \begin{aligned} \frac{du^*(\rho)}{d\rho} - \frac{u^*(\rho)}{\rho} \Big|_{\rho=0} &= 0, \quad \frac{du^*(\rho)}{d\rho} + v^* \frac{u^*(\rho)}{\rho} \Big|_{\rho=R} = \\ &= (\alpha^* - \alpha) \Delta T (1 + v_*) \end{aligned}$$

(E — модуль Юнга). Для простоты принято, что коэффициент термического расширения слоя 2 равен $(\alpha^* - \alpha)$, а слоя 1 — нулю.

Решение уравнения (10) с граничными условиями (11) имеет вид

$$\begin{aligned} u^*(\rho) = \rho \left[(\alpha^* - \alpha) \Delta T + \frac{1 - v_*^2}{2E_*} \int_0^R q(\rho) d\rho + \frac{1 - v_*^2}{2RE_*} \int_0^R \rho^2 q(\rho) d\rho \right] + \\ + \frac{1 - v_*^2}{2E_* \rho} \int_0^\rho \rho^2 q(\rho) d\rho. \end{aligned}$$

Разлагая $q(\rho)$ в ряд

$$q(\rho) = \sum_{k=1}^{\infty} S_k J_1(\mu_k \rho),$$

имеем вместо (7)

$$u(\rho) = \frac{1 - v_*^2}{E_*} \sum_{k=1}^{\infty} \frac{S_k}{\mu_k^2} J_1(\mu_k \rho) + \rho [\alpha^* - \alpha] \Delta T - \frac{1 - v_*^2}{E_*} \sum_{k=1}^{\infty} \frac{S_k}{\mu_k} J_0(\mu_k R).$$

Решение задачи для слоя 1 сводится [10] к отысканию бигармонической функции напряжений $\Phi(\rho, z)$, значения которой на поверхности тела заданы граничными условиями. Используя метод решения, предложенный в [11], $\Phi(\rho, z)$ ищем в виде

$$\begin{aligned} \Phi(\rho, z) = z (A \rho^2 + B z^2) + \sum_{k=1}^{\infty} [E_k I_0(\lambda_k \rho) + G_k \lambda_k \rho I_1(\lambda_k \rho)] \sin \lambda_k z + \\ + \sum_{k=1}^{\infty} [A_k \operatorname{sh} \mu_k z + B_k \operatorname{ch} \mu_k z + C_k \mu_k z \operatorname{sh} \mu_k z + D_k \mu_k z \operatorname{ch} \mu_k z] J_0(\mu_k z), \end{aligned}$$

где μ_k — корни уравнения $J_1(\mu_k R) = 0$; $\lambda_k = k\pi/H$. В этом случае условия при $\rho = 0$ выполняются автоматически. Используя граничные условия (1)–(5), (9), имеем

(12)

$$\begin{aligned} \frac{\partial}{\partial z} \left[v \Delta \Phi - \frac{\partial^2 \Phi}{\partial \rho^2} \right]_{\rho=R} &= 0, \quad \frac{\partial}{\partial \rho} \left[(1-v) \Delta \Phi - \frac{\partial^2 \Phi}{\partial z^2} \right]_{z=0} = H^* \sum_{k=1}^{\infty} S_k J_1(\mu_k \rho), \\ \frac{\partial}{\partial z} \left[(2-v) \Delta \Phi - \frac{\partial^2 \Phi}{\partial z^2} \right]_{z=0} &= 0, \quad \frac{\partial}{\partial \rho} \left[(1-v) \Delta \Phi - \frac{\partial^2 \Phi}{\partial z^2} \right]_{z=H} = 0, \\ \frac{\partial}{\partial z} \left[(2-v) \Delta \Phi - \frac{\partial^2 \Phi}{\partial z^2} \right]_{z=H} &= 0, \quad \frac{\partial}{\partial \rho} \left[(1-v) \Delta \Phi - \frac{\partial^2 \Phi}{\partial z^2} \right]_{\rho=R} = 0. \end{aligned}$$

Для определения неизвестных коэффициентов S_k дополнительно имеем условие

$$(13) \quad -\frac{1+v}{E} \frac{\partial^2 \Phi}{\partial \rho \partial z} \Big|_{z=0} = \frac{1-v_*^2}{E_*} \sum_{k=1}^{\infty} \frac{S_k}{\mu_k^2} + \rho \left[(\alpha^* - \alpha) \Delta T - \frac{1-v_*}{E_*} \sum_{k=1}^{\infty} \frac{S_k}{\mu_k} \times \right. \\ \left. \times J_0(\mu_k R) \right].$$

Исключая из (12), (13) коэффициенты A , B , A_k , B_k , E_k и вводя новые переменные

$$X_k = \lambda_k^4 H I_1(\lambda_k R) [2(1-v) + \varepsilon_k] G_k,$$

$$Y_k = \mu_k^4 R J_0(\mu_k R) \operatorname{sh} \mu_k H \left(C_k \operatorname{cth} \frac{\mu_k H}{2} + D_k \right),$$

$$Z_k = \mu_k^4 R J_0(\mu_k R) \operatorname{sh} \mu_k H \left(C_k \operatorname{th} \frac{\mu_k H}{2} + D_k \right),$$

$$T_k = \mu_k R H^* J_0(\mu_k R) S_k,$$

получаем совокупность бесконечных систем линейных уравнений

$$\sum_{k=1}^{\infty} (M_{pk} T_k + N_{pk} Y_k) = X_p \quad (p=1, 3, 5, \dots), \quad \sum_{k=1}^{\infty} (M_{pk} T_k - N_{pk} Z_k) = \\ = X_p \quad (p=2, 4, 6, \dots),$$

$$(14) \quad \beta_k Y_k - \sum_{p=1,3,5,\dots} L_{pk} X_p = T_k, \quad -\gamma_k Z_k - \sum_{p=2,4,6,\dots} Q_{pk} X_p = T_k,$$

$$\omega_k T_k + \sum_{p=1}^{\infty} \varphi_{pk} X_p - P_k Z_k + F_k Y_k = - \sum_{p=1}^{\infty} \delta_p T_p + (\alpha^* - \alpha) \Delta T,$$

где

$$M_{pk} = \frac{2 [2(1-v) + \varepsilon_p]}{R^2 [\chi_k + 2(1+v)/(\lambda_k R)^2] (\lambda_p^2 + \mu_k^2)}; \quad N_{pk} = M_{pk} \frac{2}{(\lambda_p^2 + \mu_k^2)};$$

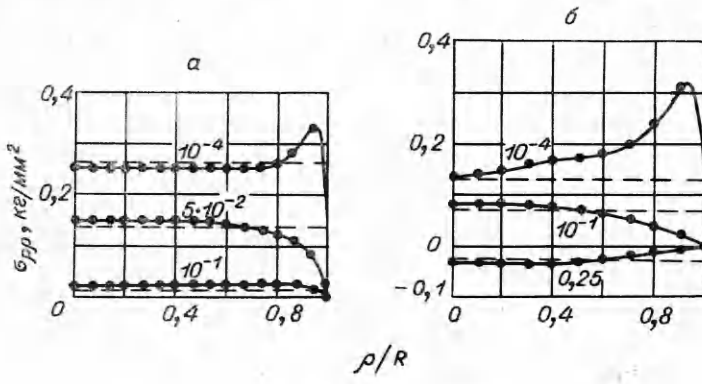
$$L_{pk} = \frac{8 \mu_k^3}{H \operatorname{th} \frac{\mu_k H}{2} [2(1-v) + \varepsilon_p] (\lambda_p^2 + \mu_k^2)}; \quad Q_{pk} = L_{pk} \operatorname{th}^2 \frac{\mu_k H}{2};$$

$$\begin{aligned}\varphi_{ph} &= \frac{1+\nu}{E} \frac{\mu_k^2}{RH} \frac{1}{\lambda_p^2(\lambda_p^2 + \mu_k^2)}; \quad \delta_p = \left(\frac{1-\nu_*}{E_* H^*} - \frac{1-\nu}{EH} \right) \frac{1}{\mu_p^2 R}; \\ \beta_k &= \frac{\sinh \mu_k H - \mu_k H}{\sinh \mu_k H}; \quad \gamma_k = \frac{\sinh \mu_k H + \mu_k H}{\sinh \mu_k H}; \quad \omega_k = \frac{1-\nu_*^2}{2E_* H^* \mu_k^2 R}; \\ P_k &= \frac{1-\nu^2}{2E} \frac{\coth \frac{\mu_k H}{2}}{\mu_k R}; \quad F_k = P_k \tanh^2 \frac{\mu_k H}{2}; \\ \alpha_k &= \frac{I_0(\lambda_k R) I_2(\lambda_k R)}{I_1^2(\lambda_k R)} - 1 + \frac{2I_2(\lambda_k R)}{\lambda_k R I_1(\lambda_k R)}; \quad \varepsilon_k = \lambda_k R \frac{I_0(\lambda_k R)}{I_1(\lambda_k R)}.\end{aligned}$$

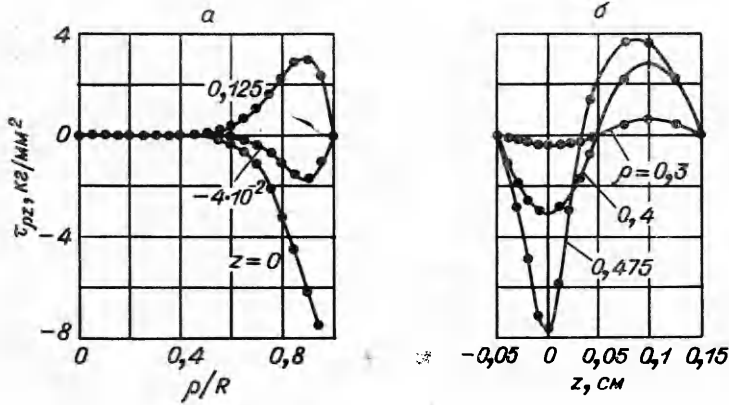
Кроме рядов Дини и Фурье, использованных в [11], при получении совокупности уравнений (14) использовано разложение в ряд Фурье — Бесселя функций ρ , $I_0(\lambda_k \rho)$ и $\lambda_k \rho I_1(\lambda_k \rho)$. Вычисление искомых коэффициентов и значений напряжений и смещений проведено на ЭВМ.

В качестве примера произведен расчет напряжений и смещений для системы кремний (слой 1) — двуокись кремния (слой 2) со следующими физическими параметрами: $E = 1,7 \cdot 10^4$ кг/мм²; $E_* = 0,6 \cdot 10^4$ кг/мм²; $\nu = 0,28$; $\nu_* = 0,17$; $(\alpha^* - \alpha)\Delta T = 4,2 \cdot 10^{-3}$.

На фиг. 2 представлена зависимость σ_{pp} в слое 1 от величины ρ/R для систем со следующими геометрическими размерами: $H^* = 4 \cdot 10^{-4}$ см;



Фиг. 2



Фиг. 3

$H = 0,15$ см; $R = 0,75$ см (фиг. 2, а); $H^* = 4 \cdot 10^{-4}$ см; $H = 0,3$ см; $R = 0,5$ см (фиг. 2, б). Цифры на кривых соответствуют координате z , см. Видно, что для области вблизи центра диска результаты точного решения достаточно хорошо совпадают с расчетами по «биметаллической» модели (штриховые кривые). В то же время вблизи краев диска точное решение дает зависимость $\sigma_{\rho\rho}$ от ρ , особенно существенную для случая $(H + H^*)/R \sim 1$ (см. фиг. 2, б). При этом наибольшая концентрация напряжений наблюдается вблизи края диска в плоскости $z = 0$.

На фиг. 3 для системы с $H^* = 5 \cdot 10^{-2}$ см, $H = 0,15$ см и $R = 0,5$ см показаны результаты расчета зависимости $\tau_{\rho z}$ от ρ (фиг. 3, а) и от z (фиг. 3, б) в слоях 1 и 2 (максимальная величина $\delta \sim 0,03$). Видно, что касательные напряжения возрастают по абсолютной величине по мере приближения к краю диска, причем наиболее интенсивный рост, как и в предыдущем случае, наблюдается в плоскости $z = 0$.

Таким образом, в отличие от балочного приближения решение в точной постановке дает зависимость величины внутренних напряжений от координаты ρ и позволяет вычислить касательные напряжения на площадках с $z = \text{const}$.

Вследствие этого полученное решение дает возможность предсказывать изменение физических свойств по радиусу диска, а также оценивать требования к адгезивным свойствам материалов для конкретных двухслойных систем.

Поступила 12 I 1977

ЛИТЕРАТУРА

1. Тимошенко С. П. Устойчивость стержней, пластин и оболочек. М., «Наука», 1971
2. Brotherton S. D., Read T. G., Lamb D. R., Willoughby A. F. Surface charge and stress in the Si — SiO₂ system. — «Solid State Electronics», 1973, vol. 16, N 12, p. 1367.
3. Григорюк Э. И., Толкачев В. М. Теория многослойного термостата. — «Изв. СО АН СССР. Сер. техн. наук», 1963, т. 10, вып. 3, с. 49.
4. Aleck B. J. Thermal stresses in a rectangular plate fastened along its edge. — «J. Appl. Mech.», 1949, vol. 16, N 2, p. 118.
5. Zeyfang R. Stresses and strains into the plate fastened on a substrate: semiconductor devices. — «Solid State Electronics», 1975, vol. 14, N 10, p. 1035.
6. Лейбензон Л. С. Краткий курс теории упругости. М.—Л., Изд-во техн.-теор. лит., 1942.
7. Гриффин Д. С., Келлог Р. Б. Численное решение осесимметричных и плоских задач упругости. — Сб. пер. Механика, 1968, № 12, с. 111.
8. Вахов В., Форсайт Дж. Разностные методы решения дифференциальных уравнений в частных производных. М., ИЛ, 1963.
9. Марчук Г. И. Методы вычислительной математики. Новосибирск, «Наука», 1973.
10. Ляя А. Математическая теория упругости. М., ОНТИ, 1935.
11. Абрамян Б. Л. К задаче осесимметричной деформации круглого цилиндра. — «Докл. АН АрмССР», 1954, т. 19.